

# マルチノードGPUを利用した 大規模な高分子系のMD計算の事例紹介

hp210134 全原子MD計算によるポリフッ化ビニリデンと  
ポリエチレンの結晶化挙動の解明

hp210133 水中Tetra-PEGゲルの負のエネルギー弾性の分子論的解明

jh210035 GPUの高速並列計算で実現する交差禁止制御可能な  
高分子シミュレータの開発

防衛大 萩田

2021.8.30月曜日 1655-1715

第2回スーパーコンピュータ「不老」ユーザ会

1

# 高分子物理・材料でのGPU活用

- この1年程度で、GPUを活用できる研究環境が、  
すごく整った。 → エコシステムの完成？

## – ハード

- V100やA100の、高性能なマルチGPU環境
- RTX 3090などの、高性能なゲームGPUの普及

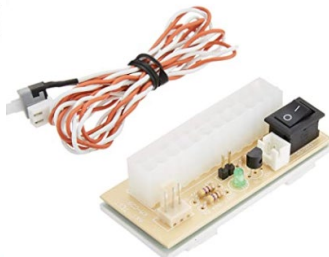
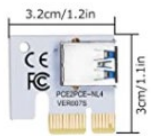
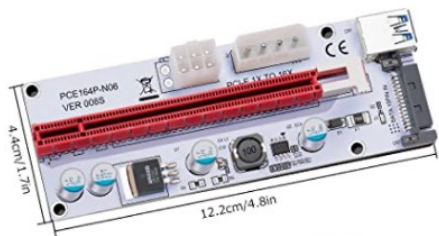
## – ソフト <オープンソースのソフトウェア>

- “Single”-GPUの性能向上（単精度＋GPU内計算）
- マルチGPUでも性能が出るようになった。

	Single GPU性能	マルチ GPU	ばね ビーズ	DPD	UAMD/ 全原子	ReaxFF
Gromacs	◎	◎	—	—	◎	—
HOOMD-blue	◎	△?	◎	◎	△	—
LAMMPS	△	○	○	○	△	◎

# Single-GPUの活用

- ホスト-デバイス間通信の少ないSingle-GPU利用では、マイニング的なハードが使える。
  - PCにGPU1枚追加。
    - PCI-e 1xのライザーカード
    - 電源＋スイッチ



## ソフト面のおまけ情報

---

- OpenACCも、入門者には、**かなり使える**。
  - 実務を改善する程度の“相対的”高速化を狙う場合。
  - GTX1070でも、いい感じである。(驚き)
    - 逆に、A100やV100では、勿体ない感じ。
- 「3DFFT + 多重ループで足し込み」が繰り返される解析用ユーザーコードで、特に有効だった。
  - 東大 GPUキャンプの成果。

# K21-08-158-05 チーム

## • 目標設定と、達成状況

目標設定	達成状況／見通し
2次元散乱像 (SPring-8) から、ナノ粒子の3D構造変化を推定するPM-2DpRMC法のコードを、A100x8ノードで最適化。	Single-GPUでは満足 Multi-GPU FFTが未達
現CPUコードよりも、大規模な系を高速に扱えるようにする。	性能向上で、達成可能
GPU対応もしたコードを、論文化で一般公開する。	Full-3DFFTで公開可能

## • 実施内容 ① cuFFT+OpenACCの、ミニコード(C++)で作業。 ② プロダクトコードでの、最適化

- OpenACC+cuFFTの作業と並行して、Intel CPUコードの最適化も実現。

	ベタ書き最適化 sparse-3D-FFT		未最適化 full-3D-FFT	cuFFT OpenACC	(左) 単精度化	sparse-3D-FFT OpenACC暫定
秒 500 trials	SR1600 32smp	CPU 72omp	CPU 72omp	A100	A100	A100
MainLoop	1.5くらい	0.567	<b>3.693</b>	1.569	<b>0.886</b>	0.654
3dFFT部			0.977	1.399	0.758	
畳込計算部		0.424	3.693	0.147	0.107	0.574

# K21-08-158-05 チーム

- cufft+OpenACC
  - ループの開始前

```
!$acc data copyin(pos) copyin(sq1exp) copy(rmclmg) copy(relmg) create(co2lmg) copyout(sq1)  
create(sq2d) create(nsq2d) create(psq2d) create(pnsq2d) create(move)
```

- ループ内の3d-FFT

```
ierr = cufftPlan3D(iplan1, ngrid0, ngrid1, ngrid1, CUFFT_D2Z)  
    ierr = ierr + cufftSetStream(iplan1, acc_get_cuda_stream(acc_async_sync))  
    !$acc update device(relmg)  
    !$acc host_data use_device(relmg, co2lmg)  
    ierr = ierr + cufftExecD2Z(iplan1, relmg, co2lmg)  
    !$acc end host_data  
    ierr = ierr + cufftDestroy(iplan1)
```

# K21-08-158-05 チーム

## – 畳み込み計算部分

```
!$acc kernels
sq2d(:,:)=0.0d0
nsq2d(:,:)=0.0d0
!$acc end kernels
```

```
!$acc kernels
psq2d(:,:,0:ngrid1/2)=0.0d0
pnsq2d(:,:,0:ngrid1/2)=0.0d0
!$acc end kernels
```

OpenMPの  
first-touch的な処理

```
!$acc kernels
!$acc loop independent gang
do iz=0,ngrid1/2
  dqz=dqya(iz)
  if(iz.eq.0.or.iz.eq.ngrid1/2) then
    !$acc loop seq
    do iy=0,ngrid1-1
      dqy=dqya(iy)
      i2=int((sqrt(dqy+dqz)+0.5d0)*dqfft1/dq)
      if(i2.lt.iqmax1-2) then
        !$acc loop independent vector
        do ix=0,ixm
          dqx=dqxa(ix)
```

```
!$acc atomic
pnsq2d(i1,i2,iz)=pnsq2d(i1,i2,iz)+dconst(ix)*w00/wsum
!$acc atomic
pnsq2d(i1+1,i2,iz)=pnsq2d(i1+1,i2,iz)+dconst(ix)*w10/wsum
```

# おまけ情報

## GPUキャンプでの成果

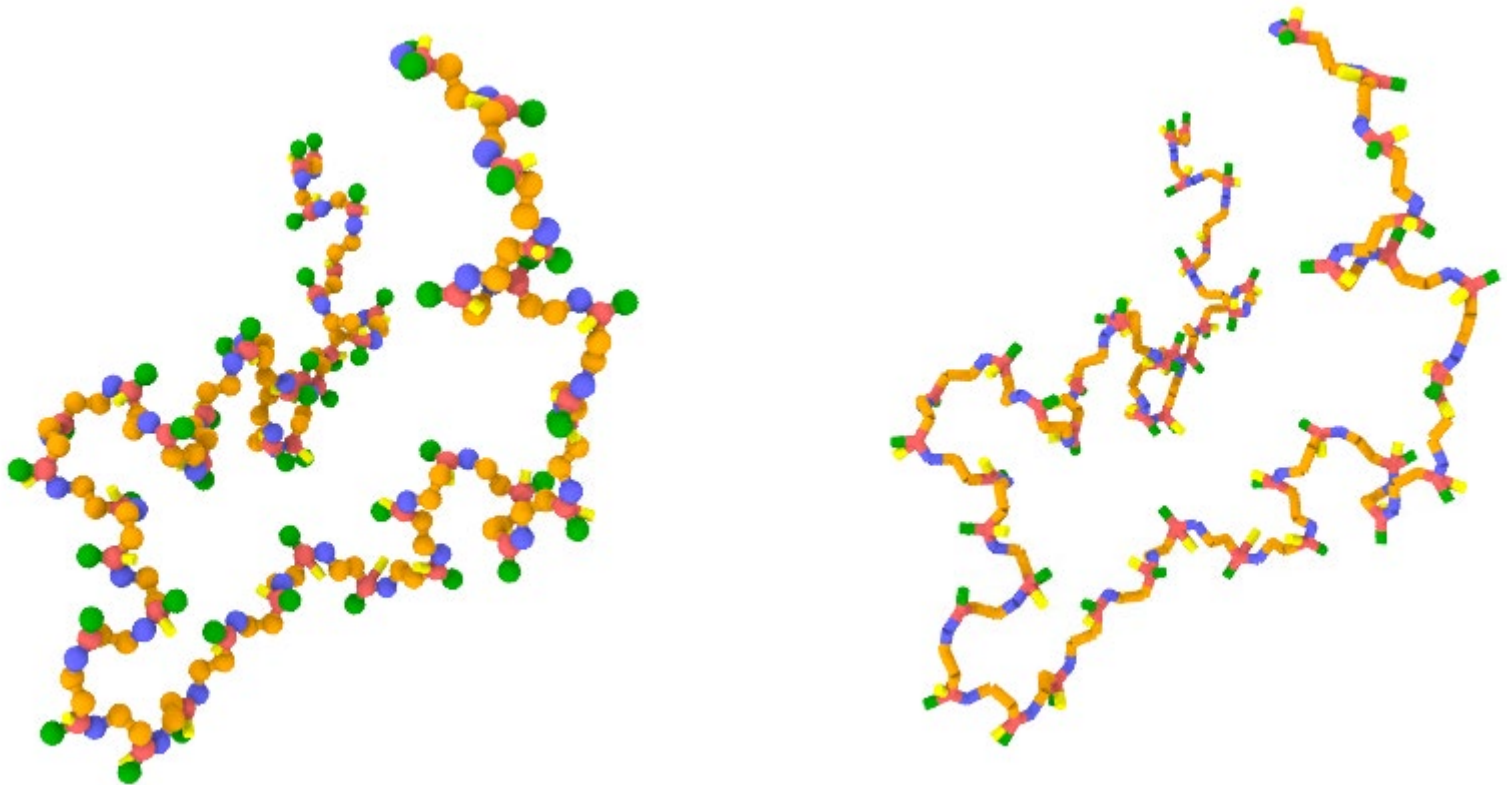
	べた書き最適化 sparse-3D-FFT		未最適化 full-3D-FFT	cuFFT OpenACC	(左) 単精度化	sparse-3D-FFT OpenACC暫定
秒 500 trials	SR1600 32smp	CPU 72omp	CPU 72omp	A100	A100	A100
MainLoop	1.5くらい	0.567	<b>3.693</b>	1.569	<b>0.886</b>	0.654
3dFFT部			0.977	1.399	0.758	
畳込計算部		0.424	3.693	0.147	0.107	0.574

## その後のフォローアップ

	秒 500 trials	A100	RTX3090	RTX3070	RTX2070	GTX1070
cuFFT OpenACC	MainLoop	1.569	1.887	2.856	2.788	3.723
	3dFFT部	1.399	1.383	2.364	2.469	3.148
	畳込計算部	0.147	0.494	0.480	0.308	0.558
(上) 単精度化	MainLoop	<b>0.886</b>	0.938	1.585	1.312	1.931
	3dFFT部	0.758	0.746	1.295	0.983	1.409
	畳込計算部	0.107	0.183	0.278	0.317	0.504

# さて本題

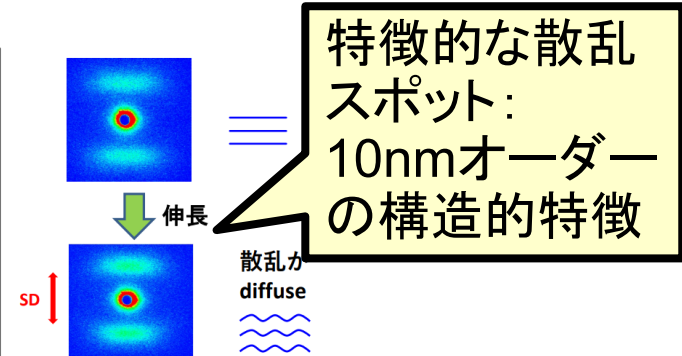
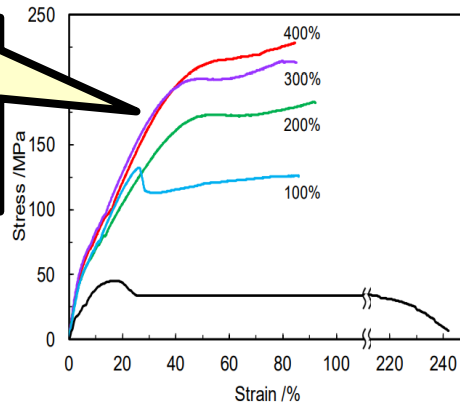
- 高分子材料 …… 構造と力学特性の関連を、MD計算で予測したい。
  - 実験とデータ同化し、実験の系を制御したい。



# 背景

## 結晶性高分子（ポリフッ化ビニリデン）

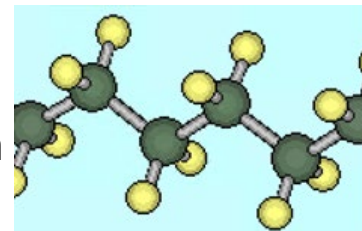
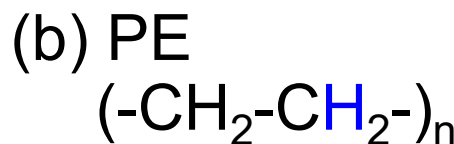
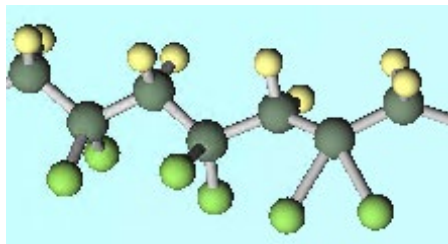
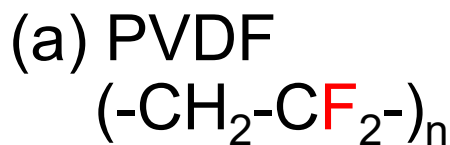
事前の熱延伸が  
大きいほど  
破断強度が増大



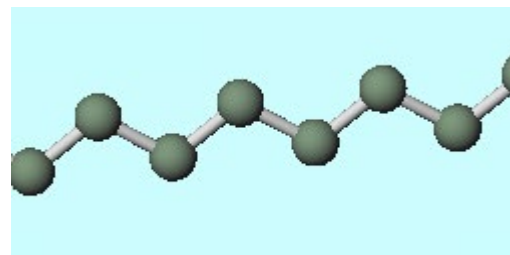
- ミルフィーユ構造を持つ材料は、熱延伸で強化
  - 金属／セラミック／高分子で共通：強化原理は？
  - 高分子の分子レベルでの強化メカニズムは未解明
- 科研費・**新学術**領域（東大・工 阿部先生代表）
  - 公募研究 萩田「キンク強化が期待される結晶性高分子材料の分子論的解明」 → **MD計算で解明**

# 全原子MDと、ユナイテッドアトムMD

- ポリフッ化ビニリデンと、ポリエチレンで、物性差
  - 全原子MDで、差を見いだす。

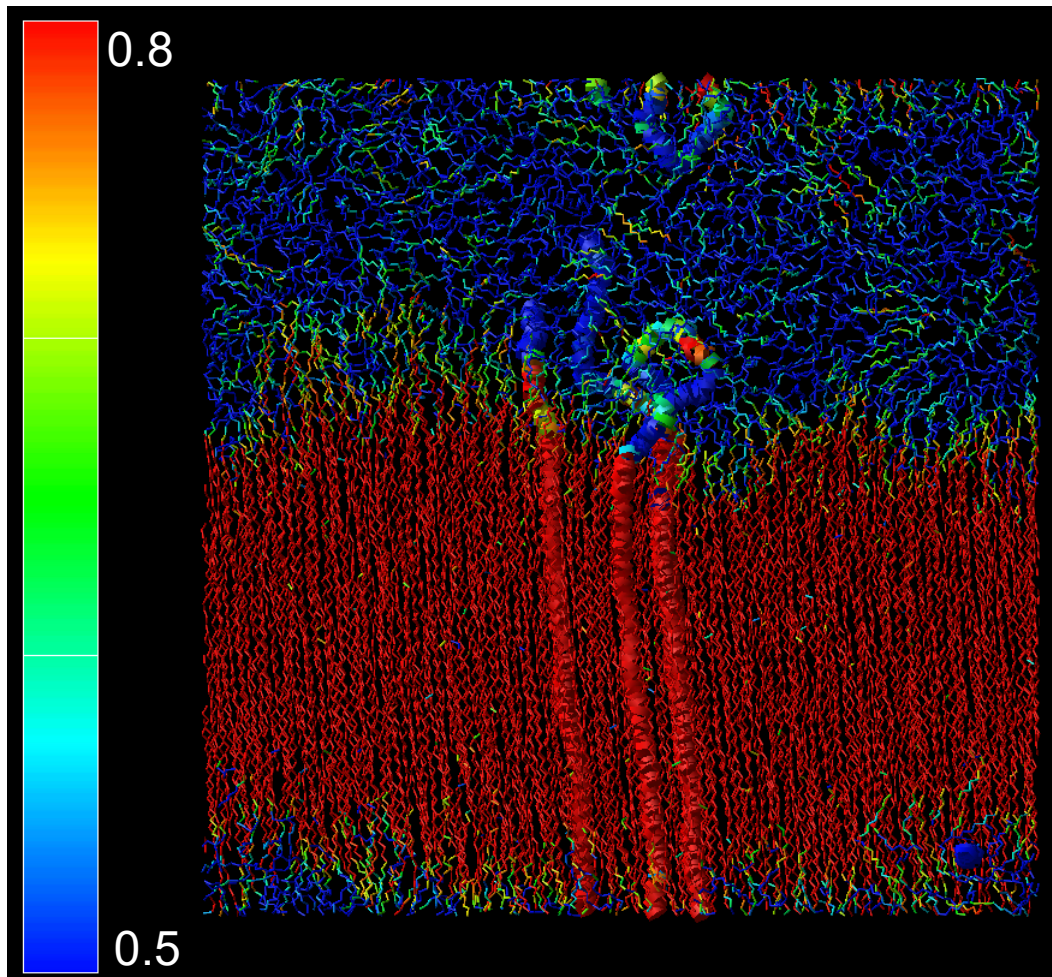


- 上記の前段階研究として、ミルフィーユ構造での熱延伸強化の大枠を掴む。
  - ユナイテッドアトムMDで、粗視化高速計算。
    - 骨格以外の原子省略
    - クーロン力なし



# ミルフィーユ構造の分子描像

- 結晶の部分は、配向が、 $\cos \theta > 0.8$ 。
  - 事前延伸により配向させた系での結晶化



柔らかい

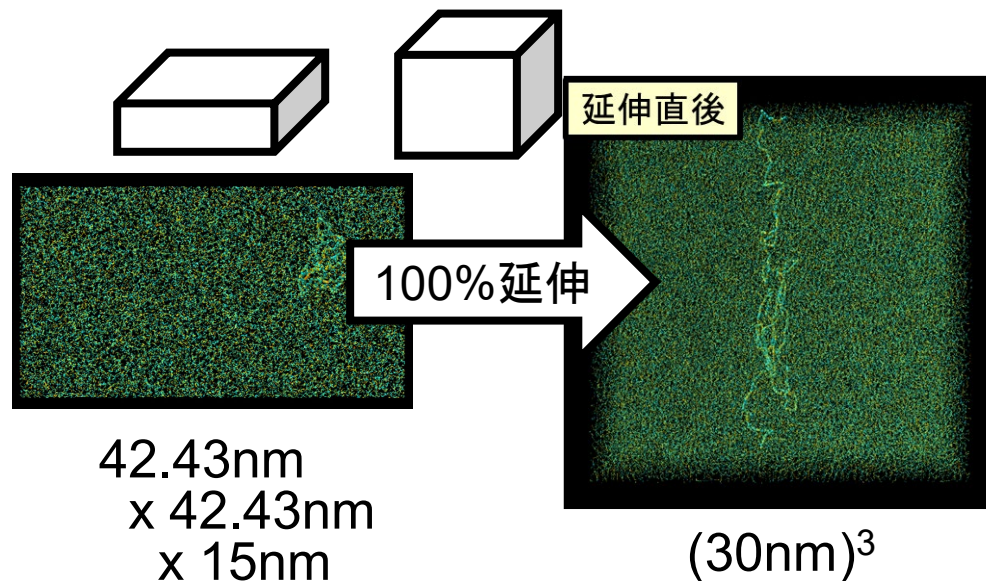
「アモルファス層」

硬い

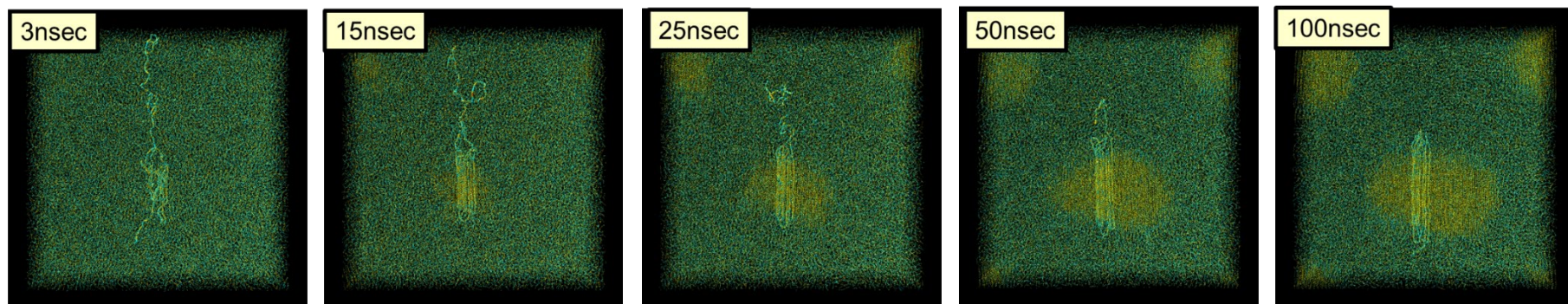
「結晶層(配向した鎖)」

# 熱延伸した結晶性高分子の計算

- 事前の延伸



- 静置して、結晶化を観察



# GromacsでのGPU計算@名大

- 100万原子のUAMD模型
  - 同じバイナリ、同じスクリプトで、4月の計測と、8月の計測で大きな差がある。(なぜ?)

	ノード数	MPI並列	#_OMP	ns/day (4月計測)	ns/day (8月計測)	GPU数
cx-single	1	4 (tMPI)	6	111.940	103.166	4
cx-single	1	8 (tMPI)	5	143.867	131.148	4
cx-single	1	4 (oMPI)	6	120.441	112.560	4
cx-small	4	16 (oMPI)	6	348.527	306.190	16
cx-small	8	32 (oMPI)	6	521.053	402.881	32
cxgfs-middle	16	64 (oMPI)	6	<b>742.913</b>	551.185	64
cx-large	32	128 (oMPI)	6	<b>1004.919</b>	X	128

tMPI: thread-MPI(ノード内)、oMPI: openmpi-4 cuda-aware

# GromacsでのGPU計算@A100

## • 100万原子のUAMD模型

ノード数	Cuda-aware MPI並列	東大BDEC (ns/day)	阪大SQUID (ns/day)	GPU数
1	4(oMPI)	164.246	—	4
1	6(oMPI)	216.820	253.592	6
1	8(oMPI)	262.641	291.100	8
2	16(oMPI)	414.496	433.492	16
4	32(oMPI)	626.704	584.688	32
8	64(oMPI)	549.630	<b>680.177</b>	64

(8月)名大のV100は、  
64 GPUで、  
551.185ns/days  
なので、問題は謎！  
(電力設定??)

(4月)名大のV100が、  
64 GPUで、  
742.913ns/days  
128GPUで、  
**1004.919ns/days**  
で速かったですけど  
問題は、未解決。

tMPI: thread-MPI(ノード内)

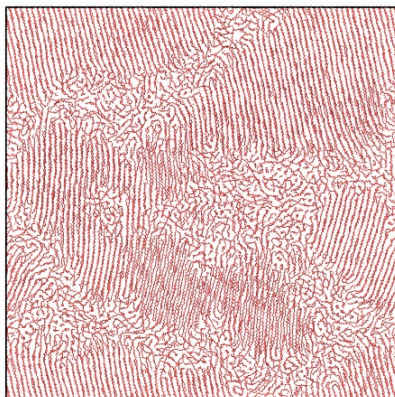
oMPI: openmpi-4 cuda-aware

ノード数	Thread-base MPI並列	東大BDEC (ns/day)	GPU数
1	4(tMPI)	92.306	4
1	6(tMPI)	165.748	6
1	8(tMPI)	152.069	8

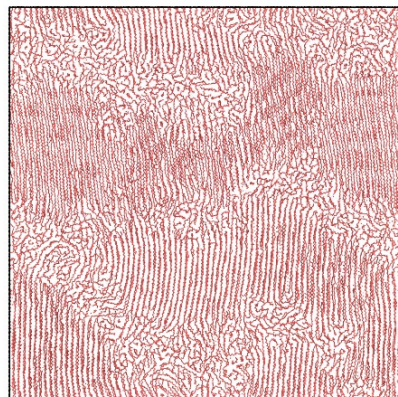
# 実験との比較による妥当性検証

- 長時間 (2000 nsec) の結晶化計算と、一軸延伸

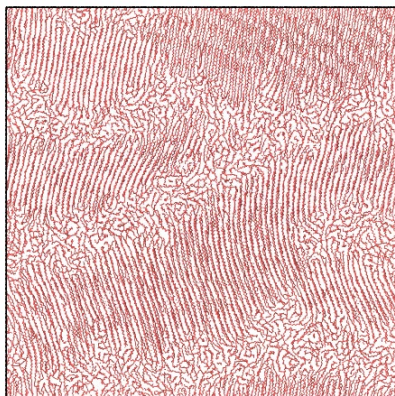
事前の100%延伸



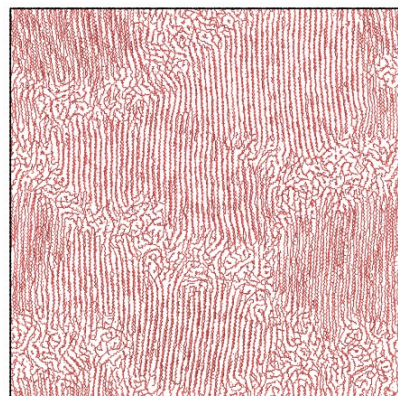
事前の300%延伸



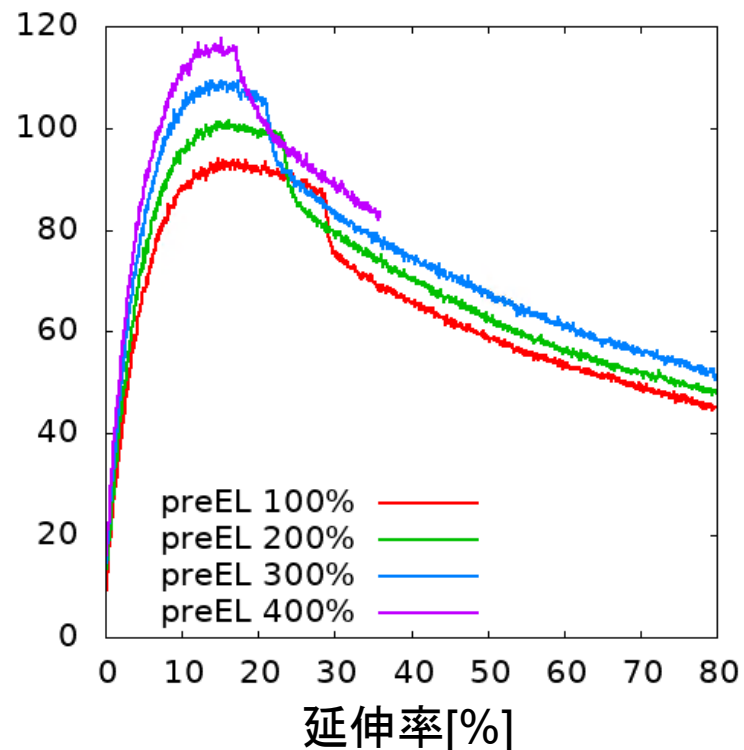
事前の200%延伸



事前の400%延伸



応力[MPa]



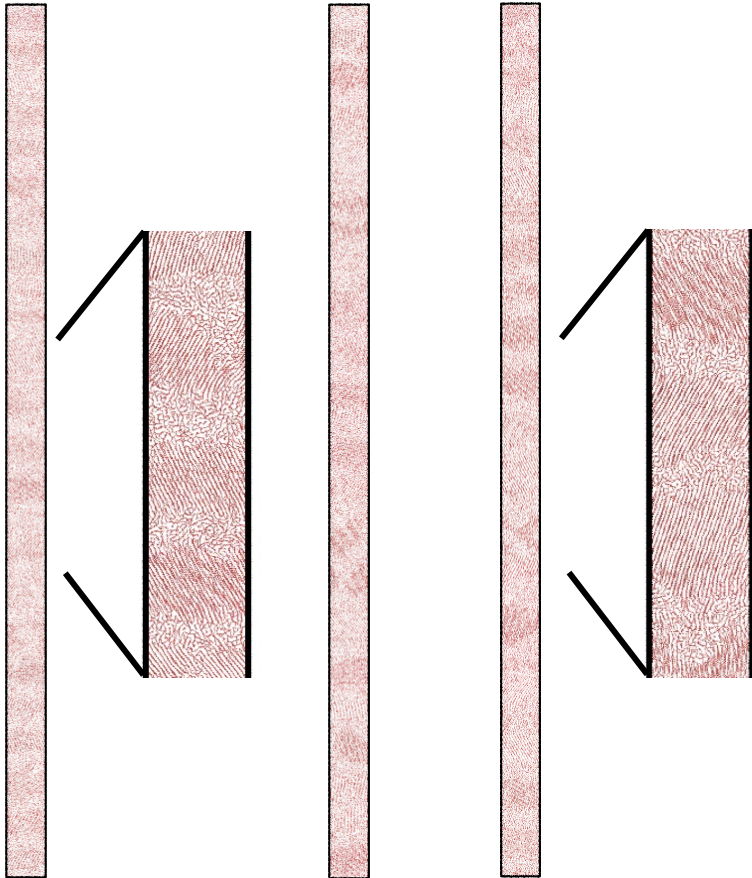
※事前延伸が大きいほど、  
応力値の伸びが大きい。  
→ 実験の挙動と一致

※事前延伸が大きいほど、結晶度大

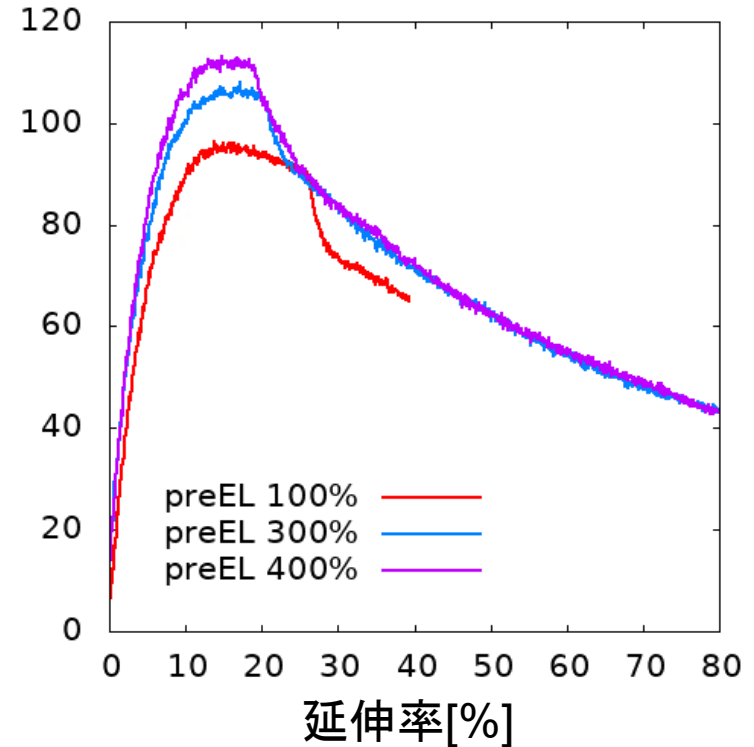
# X線散乱との比較の予備検討

- ミルフィーユ(ラメラ)の繰り返し構造での検討
- 600 nsecの結晶化計算と、一軸延伸

事前100% 事前300% 事前400%



応力[MPa]

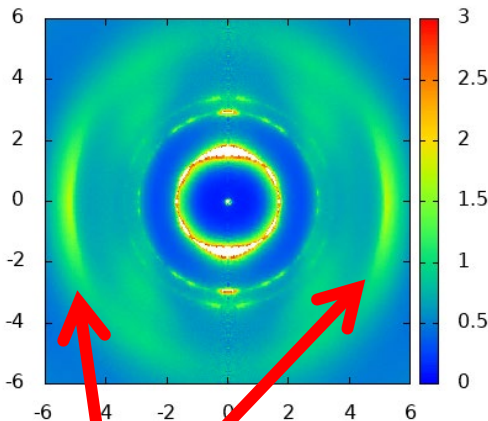


※ほぼ同じ、挙動。

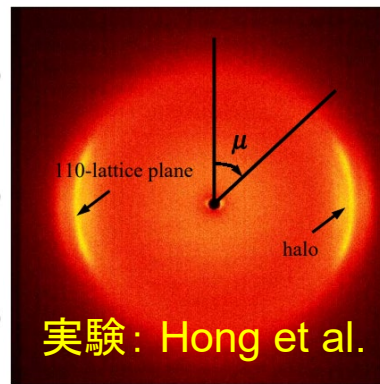
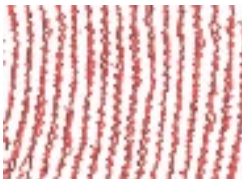
# X線散乱との比較の予備検討

- 散乱関数は、フーリエ変換を畳み込んだ量。
- 広角散乱は、原子スケール量。(サイズ依存弱)
- 小角散乱の解像度は、システムサイズに依存。

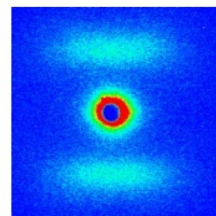
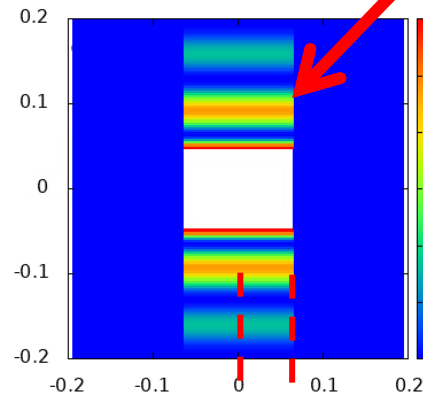
## 広角散乱



結晶に由来したピーク

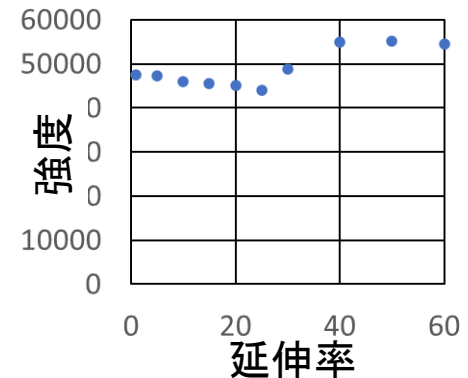


## 小角散乱



$$\Delta q_x = 2\pi/L_{\text{pbc},x}$$

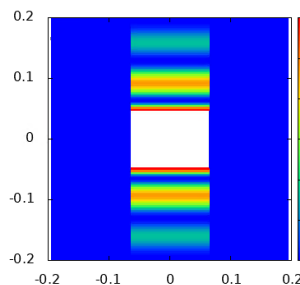
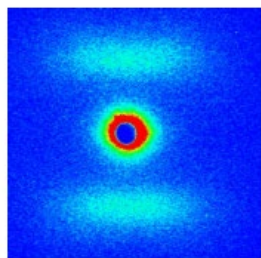
ラメラ(ミルフィーユ)の間隔に由来したピーク  
(密度差を反映)



※実験と一致してそう。

## まとめと、課題点

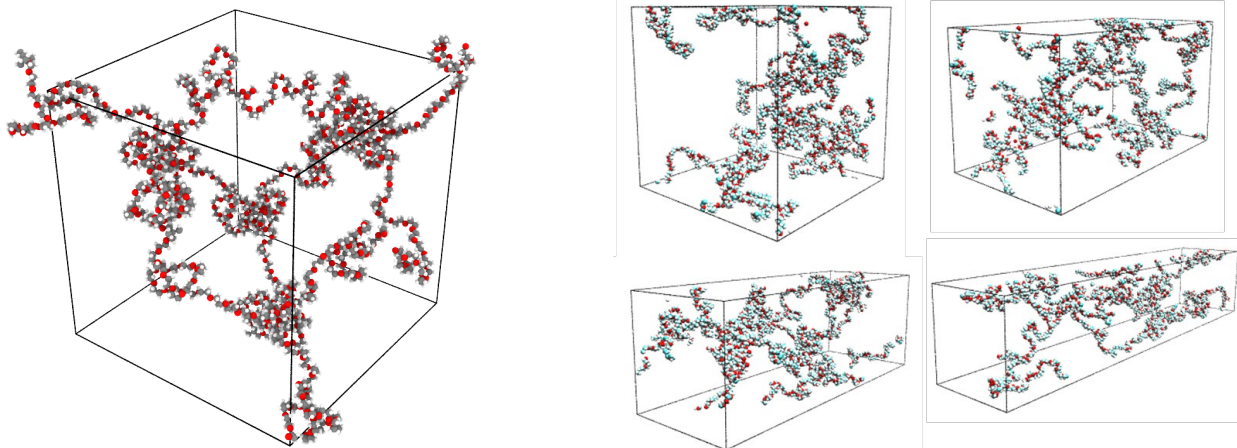
- 名大「不老」GPUの集中的利用で、短期間に、結果を得ることができたが、解像度が悪い。
- ⇒ 8~50倍程度の超大規模系なら、綺麗に比較できそう。



- このテーマで「富岳」に挑戦するか？ (or5年待つか)
- 東大・阪大の試験利用で、挑戦的計算を実施。
  - 1600万粒子系を計算済。(A100x8 x8ノード)
  - 12個の条件で、700nsの計算を実施。
- 現在、一軸延伸で応力歪み曲線と2次元散乱パターンを計算中。

# GromacsでのGPU計算の状況

- 水中PEGのMD計算 160,328原子(ほとんど水)



- このサイズで、クーロン力がある場合は、**thread-based MPI のsingle GPUが速い。**

(阪大SQUID)

(ns/day)	1GPU	2GPU	4GPU	6GPU	8GPU
Thread並列	<b>32.863</b>	19.169	23.158	21.978	22.874
MPI	—	7.558	2.370	1.125	0.359

- MPIでは、みるみる遅くなる！ PMEが悪化。
- 1ノードに複数GPUがあるので、無駄なく使いたい。

# Single-GPUの複数計算実行

- Pythonの`subprocess`で、しのぐのが、**簡単**。

```
#PBS  
python3 ./run-1.py
```

```
from concurrent import futures  
import time  
import sys  
import os  
import subprocess
```

```
num_tasks=4  
num_workers=4
```

```
def exec_func(index):  
    print('index: %s started.' % index)  
    shcmd='cd '+str(index)+' ; '+ './run.sh '+str(index)+' >log-'+str(index)  
    process = subprocess.run(shcmd, stdout=subprocess.PIPE, shell=True)  
    time.sleep(5)  
    print('index: %s ended.' % index)
```

```
future_list = []  
with futures.ThreadPoolExecutor(max_workers=num_workers) as executor:  
    for i in range(num_tasks):  
        future = executor.submit(fn=exec_func, index=i)  
        future_list.append(future)
```

```
    _ = futures.as_completed(fs=future_list)
```

```
print('completed.')
```

ここから、  
CUDA\_VISIBLE\_DEVICESを指定して、  
Gromacsでも、何でも呼べばOK。

# LAMMPSでのGPU計算の状況

---

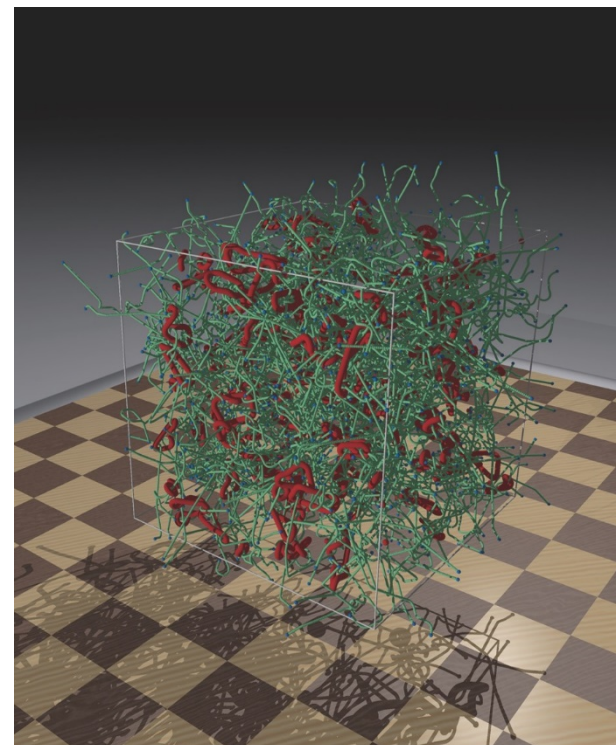
- ReaxFF計算
  - KOKKOS 1000 steps 2,149,216 atoms

ノード数	MPI並列	東大BDEC (sec)	GPU数
1	4(oMPI)	255.456	4
1	6(oMPI)	181.055	6
1	8(oMPI)	144.520	8
2	16(oMPI)	71.499	16
4	32(oMPI)	39.472	32
8	64(oMPI)	26.763	64

# GPUを駆使した計算の研究成果

- hp200048 (HPCI)、hp200168 (富岳) で準備。  
GPUでプロダクト計算。
  - 環状鎖と線状鎖が混合した系の一連の計算

- K. Hagita, T. Murashima, Effect of Chain-Penetration on Ring Shape for Mixtures of Rings and Linear Polymers. *Polymer* **2021**, 218 123493.
- K. Hagita, T. Murashima, Multi-Ring Configurations and Penetration of Linear Chains into Rings on Bonded Ring Systems and Polycatenanes in Linear Chain Matrices. *Polymer* **2021**, 223 123705.
- K. Hagita, T. Murashima, Molecular Dynamics Simulations of Ring Shapes on a Ring Fraction in Ring-Linear Polymer Blends. *Macromolecules* **2021**, in press.
- T. Murashima, K. Hagita, T. Kawakatsu, Viscosity Overshoot in Biaxial Elongational Flow: Coarse-Grained Molecular Dynamics Simulation of Ring-Linear Polymer Mixtures. *Macromolecules* **2021**, 54, 7210.



Macromolecules 誌の  
Supplementary Cover Art

# JHPCN課題: jh210035

- サイエンス的には、

鎖の交差禁止をON/OFFできるモデルの高速コード開発  
(ON/OFFで、熱力学的状態を維持する条件で)

– 本格計算は、来年度以降を想定。

- 技術的には、

– CPUコードの最適化の追求

- コードの一般公開に向けて必要な作業

– GPU (A100, NVswitch) の活用

- GPU演算の最適化
- GPU Direct (NVswitch) の活用
- GPUのシステム側の機能の理解と活用
- OpenACCの効率的な利用方法

# JHPCN課題でGPUコード開発中

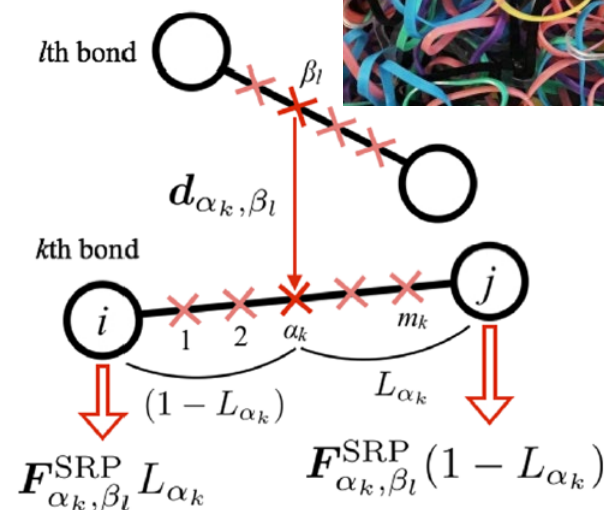
- 鎖の交差の禁止： 環状鎖の問題
  - 交差のON/OFFで物性が変わる。



- 計算モデルは？

– DPD法のMP-SRP法で可能。

- 多数の斥力中間点を挿入。
- 但し、計算コスト大
  - GPUで解決を期待。



– 計算特性は？

- 4粒子間の力の計算の問題になる。
  - 正確には、2粒子間と、その隣の2粒子の合わせて4粒子。
- 斥力中間点の計算は、SIMD向き。
- 幾何学的条件で、計算不要を判定可能。

# 最新GPU利用技術の獲得状況

- Multi-nodes, Multi-GPUs
  - Gromacsのマルチノード利用 ※知見をHPCI課題で活用
    - 名大 V100
    - 東大 A100
- Single-node, Multi-GPUs
  - OpenACCプログラミング
    - 東大 A100
  - TensorFlowのノード内並列学習
    - 東大 A100
  - LAMMPSのKokkos(GPU)活用
    - 阪大 A100 (+東北大金研 V100)

東大 (講習会)  
[6/22,29] 第3回  
GPUミニキャンプ  
[6/23,30] 第4回  
GPUミニキャンプ

## まとめ

---

- たくさんのGPU (V100, A100)を使うことで、たくさん研究が推進できています。 *感謝感謝*
- **No GPU, No research-Life !**
- 困っていること。
  - Cuda-aware MPIのucxが、謎！！
  - GPU間の通信の把握が、結局、謎感大！
  - Cuda-aware-MPIの使い方の自動チューニングのツール(フレームワーク?)があると嬉しい。。。
    - 現状、dictionaryもよく分からん感じ。

# GPU内の通信の把握が難解??

- nsysやnvidia-smiを見るのが大変だああ。。。
- 対応すべき策もよく分からないなああ。。。。。
- CuFFTの2D-FFTで、マルチGPUの性能評価の例

nvidia-smi

8GPU	ns	KB		
PtoP	440,092,112	33,030,144.00	0.075052797	75.05279713
HtoD	389,207,667	9,437,184.00	0.024247169	24.2471688
DtoH	374,914,079	9,437,184.02	0.025171591	25.17159144
DtoD	12,406,587	4,718,592.00	0.380329578	380.3295782

nsys

Time (%)	Total Time (ns)	Operations	Average	Minimum	Maximum	Operation
36.2	440,092,112	1,022	430,618.5	54,816	21,225,036	[CUDA memcpy PtoP]
32.0	389,207,667	576	675,707.8	667,702	681,781	[CUDA memcpy HtoD]
30.8	374,914,079	583	643,077.3	2,496	823,348	[CUDA memcpy DtoH]
1.0	12,406,587	146	84,976.6	30,143	1,594,536	[CUDA memcpy DtoD]
0.0	13,888	5	2,777.6	2,432	3,424	[CUDA memset]
Total	Operations	Average	Minimum	Maximum	Operation	
9,437,184.020	583	16,187.280	0.004	16,383.938	[CUDA memcpy DtoH]	
9,437,184.000	576	16,384.000	16,384.000	16,384.000	[CUDA memcpy HtoD]	
4,718,592.000	146	32,319.123	12,288.000	786,432.000	[CUDA memcpy DtoD]	
33,030,144.000	1,022	32,319.123	12,288.000	786,432.000	[CUDA memcpy PtoP]	
0.020	5	0.004	0.004	0.004	[CUDA memset]	